
УДК 539.22

И.Б. Краснюк, канд. физ.-мат. наук
Донецкий физико-технический ин-т им. А.А. Галкина НАН Украины
(Украина, 83114, Донецк, ул. Р. Люксембург, 72,
тел. (062) 3113766, e-mail: krasjukigr@rambler.ru)

Импульсные периодические структуры релаксационного и турбулентного типов в ограниченных диблок-сополимерных системах

Рассмотрено линейное гиперболическое уравнение для несохраняющегося параметра порядка в диблок-сополимерной цепи с нелинейными дифференциальными граничными условиями, которые моделируют процесс образования упорядоченной фазы на плоских стенках, ограничивающих бинарную смесь (расплав). Показано, что для идеальных полимерных систем в расплаве возникают (при специальном выборе начальных условий) асимптотически периодические кусочно-постоянные распределения параметра порядка с конечным или бесконечным множеством точек разрыва на периоде. Построена бифуркационная диаграмма начально-краевой задачи при специальном выборе граничных условий, допускающих редукцию задачи к логистическому (или квадратичному) разностному уравнению с непрерывным временем и квазипериодическими возмущениями.

Розглянуто лінійне гіперболічне рівняння для параметра порядку, що не зберігається, в диблок-сополімерному ланцюгу з нелінійними диференціальними крайовими умовами, які моделюють процес утворення упорядкованої фази на плоских стінках, обмежуючих бінарну суміш (розплав). Показано, що для ідеальних полімерних систем у розплаві виникають (при спеціальному виборі початкових умов) асимптотичні періодичні кусково-сталі розподілення параметра порядку з кінцевою або нескінченною множиною точок розриву на періоді. Побудовано біфуркаційну діаграму початково-крайової задачі при спеціальному виборі початкових умов, згідно з якими можлива редукція задачі до логістичного (або квадратичного) різницевого рівняння з неперервним часом і квазіперіодичними збуреннями.

К л ю ч е в ы е с л о в а: диблок-сополимеры, странный нехаотический аттрактор, разностное уравнение с квазипериодическими возмущениями, бифуркации удвоения периода на торе.

Исследуем диблок-сополимерные системы несохраняющегося параметра порядка, который представляет собой разность между плотностями диблок-сополимерных цепей типа *A* и *B*. Если параметр порядка равен нулю, то рассматривается симметричный полимер, расплав или неупорядоченная фаза диблок-сополимерных цепей. Если параметр порядка не равен нулю,

© И.Б. Краснюк, 2013

то такое «нарушение симметрии» приводит к возникновению зародышей упорядоченной фазы в расплаве, т.е. при кристаллизации расплава в нем происходит формирование кристаллитов [1, 2].

Рассмотрим модельное уравнение, вытекающее из функционала энергии для диблок-сополимерных цепей [2] и гипотезы Фурье [3—5], которую будем использовать в так называемом τ -приближении [6]. Данное уравнение является уравнением гиперболического типа и моделирует распределения параметра порядка в диблок-сополимерных цепях. Ограничимся исследованием линеаризованной версии этого уравнения в окрестности точки $u(x, t) \equiv 0$, где u — параметр порядка. Такое состояние равновесия соответствует неупорядоченной фазе (расплаву). Примем нелинейные динамические граничные условия вида [2, 7, 8]

$$\frac{\partial u}{\partial t}(0, t) = F_0[u(0, t)], \quad \frac{\partial u}{\partial t}(l, t) = F_l[u(0, t)], \quad t > 0, \quad (1)$$

где F_0 и F_l — заданные отображения.

Граничные условия (1) описывают процесс поверхностного проникновения зародышей через плоские стенки, ограничивающие бинарную смесь. Будем искать решение соответствующей начально-краевой задачи в виде двух простых бегущих волн:

$$u(x, t) = f(t + x/V) + g(t - x/V), \quad 0 < x < l, \quad t > 0, \quad (2)$$

где f и g — произвольные функции; $V > 0$ — фазовая скорость бегущей волны. Покажем, что при специальном выборе граничных и начальных условий задача допускает редукцию (по Шарковскому [8]) к разностному уравнению с непрерывным временем:

$$f(\zeta + x/V) = F_l^{-1}(F_0(f(\zeta)) + Y(\zeta)), \quad -l/V < \zeta < \infty, \quad (3)$$

где $\zeta = t + x/V$. Аналогичное уравнение можно получить по переменной $\eta = t - x/V$ для функции g .

Рассмотрим отображение $\Phi := F_l^{-1} \circ F_0$, где \circ — суперпозиция соответствующих отображений. Предположим, что отображение отображает некоторый открытый ограниченный интервал в себя (необходимое, но не достаточное требование продолжаемости решений) и является гиперболическим. Это означает, что отображение имеет конечное множество неподвижных точек и его производные в этих точках по модулю не равны единице. Отсюда, в частности, вытекает структурная устойчивость отображения.

Пусть P^+ , P^- суть множества притягивающих и отталкивающих неподвижных точек отображения. Неподвижная точка называется притягивающей, если производная отображения в этой точке по модулю меньше единицы. Для гиперболического отображения неподвижная точка является отталкивающей, если она не притягивающая.

Асимптотическое поведение решений неавтономного разностного уравнения (3) известно в двух случаях: для идеальных пленок при $Y(\zeta) \equiv 0$ и для неидеальных пленок при $Y(\zeta) \neq 0$, где $Y(\zeta)$ — известная квазипериодическая функция, которая является решением исходного линейного уравнения, моделирующего образование зародышей упорядоченной (в частности, кристаллической) фазы в однородном полимерном расплаве.

В первом случае при $\zeta \rightarrow \infty$ существует сходимость $f(\zeta) \rightarrow P^+$ почти всюду в метрике Хаусдорфа для графиков [8], за исключением некоторого множества точек разрыва предельного решения, мера Лебега которого равна нулю [9]. Предельная функция $f(\zeta)$, определяющая промежуточную асимптотику по Баренблатту рассматриваемой краевой задачи, является асимптотически периодической кусочно-постоянной функцией, т.е. обобщенным решением. В точках разрыва Γ производная $f'(\zeta) \rightarrow \infty$ при $\zeta \rightarrow \infty$, но само решение является сколь угодно гладким при сколь угодно гладких начальных функциях.

При конечном значении Γ наблюдаются предельные периодические колебания релаксационного типа (рис. 1). Если множество Γ бесконечно, то такие колебания называют колебаниями предтурбулентного типа при Γ счетном и колебаниями турбулентного типа при Γ несчетном и нигде не плотном множестве (второй категории по Бэру) [9]. Разумеется, при возрастающей производной сходимость в окрестности точек разрыва не является равномерной, что приводит к необходимости рассматривать метрику Хаусдорфа для графиков функций или метрику Скорохода [9], удобную в случае колебаний турбулентного типа, когда векторное поле есть случайная величина, а соответствующее распределение задано инвариантной мерой [9, с. 265].

Для корректной постановки граничной задачи в дополнение к граничным условиям (2) необходимо рассмотреть нулевые граничные условия Неймана, согласно которым [8, 10], если $f(\xi) \rightarrow P^+$, то $g(\eta) \rightarrow P^+ + c$ при $\eta \rightarrow \infty$, где c — произвольная постоянная, определяемая начальными условиями краевой задачи. Итак, для идеальных систем существует сходимость $u(x, t) \rightarrow 2P^+ + c$ при $t \rightarrow \infty$ почти для всех $0 < x < l$. Это означает, что идеальные системы обладают предельными периодическими колебаниями релаксационного, предтурбулентного и турбулентного типов. Используя результаты работы [11], можно показать, что если неавтономные колебания в разностном уравнении достаточно малы, то, по крайней мере, сценарий бифуркаций удвоения периода сохраняется и, следовательно, можно считать, что сохраняются колебания релаксационного типа. Подробное обсуждение этих вопросов можно найти в работе [12].

Для неидеальных систем аналогом удвоения периода на интервале является сценарий удвоения периода на торе, т.е. когда учитывается фаза

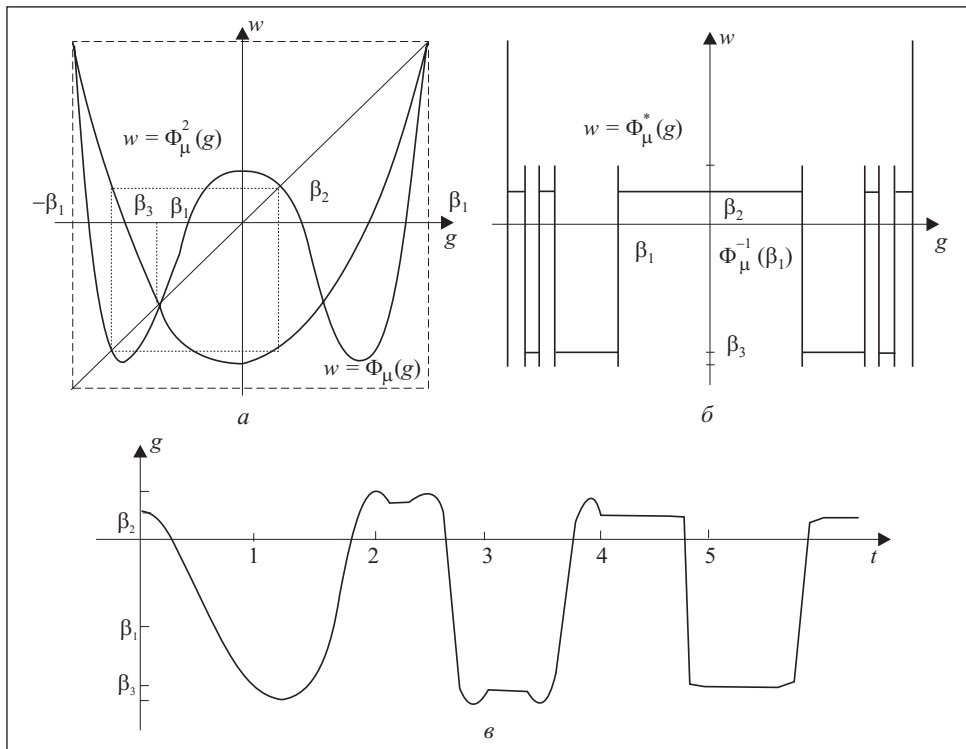


Рис. 1 [9]. Графики предельных периодических колебаний релаксационного типа: а — квадратичное отображение Φ_μ и его третья итерация при значении поверхностного параметра (нормированной температуры) $-5/4 < \mu < -3/4$; б — отображение Φ_μ^* при числе итераций, стремящемся к бесконечности; в — предельное распределение одной из бегущих волн, представляющих решение краевой задачи (2), где $t \rightarrow t - x/V$; β_2 и β_3 — притягивающие неподвижные точки отображения; β_1 — отталкивающая неподвижная точка; при поверхностной кристаллизации расплава прямая $g \equiv \beta_1$ разделяет жидкую и твердую фазы

объемных колебаний. Следствием этого является возникновение асимптотически квазипериодических решений уравнения (3) [13]. В отличие от идеальных систем такие предельные квазипериодические колебания не имеют точек разрыва при $t \rightarrow \infty$, т.е. не являются кусочно-постоянными функциями и, следовательно, в данном случае не существует колебаний релаксационного типа.

Кроме квазипериодических распределений как элементов аттрактора начально-краевой задачи существуют детерминированные распределения, являющиеся элементами странного нехаотического аттрактора (СНА). Графики таких распределений суть фрактальные множества: впервые пример СНА построен в работе [14]. Несмотря на сложную структуру предельных

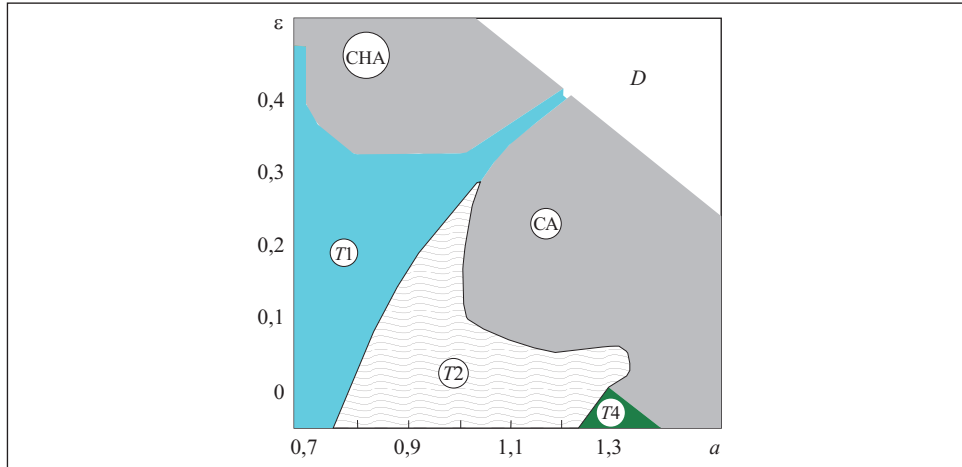


Рис. 2. Обобщенная бифуркационная диаграмма Кузнецова—Пиковского [17]: D — область неограниченных колебаний; $T1$, $T2$, $T4$ — бифуркации удвоения тора

траекторий, максимальный показатель Ляпунова для таких траекторий является отрицательным: траектории сближаются при $t \rightarrow \infty$ [13]. Наконец, существуют предельные условия краевой задачи, соответствующие классическому странному аттрактору (СА) с максимальным положительным показателем Ляпунова и траекториями, которые расходятся при $t \rightarrow \infty$.

Бифуркационное множество для идеальных систем показано на рис. 1, а для неидеальных систем — на рис. 2, где ε и a — объемный и поверхностный параметры. Типичные траектории динамической системы, порождаемой гиперболическим отображением (которое, в свою очередь, порождается краевыми условиями идеальной системы) приведены в [10, рис. 3].

Постановка задачи. Рассмотрим диблок-сополимерную цепь, состоящую из N_A сегментов типа A и N_B сегментов типа B . Диблок-сополимер представляет собой макромолекулу, которая состоит из химически различных мономеров, ковалентно связанных (на одном конце). Данные сегменты взаимно притягиваются или отталкиваются: AB — притягивающее взаимодействие, а BB и AA — отталкивающие взаимодействия.

Как известно, в бинарных полимерных смесях при охлаждении расплава наблюдается фазовый переход «беспорядок \rightarrow порядок», а в диблок-сополимерах — микрофазовый переход, т.е. волны расслоения формируются в масштабах: $q_* = 2\pi/\lambda \approx 1,9456/\sqrt{\langle R_g^2 \rangle}$. Здесь $R_g^2 = Na^2/6$, где a — среднее математическое ожидание статистической длины сегмента Куна; N — степень полимеризации [2, 11]. Тип параметра дальнего порядка зависит от отношения $f = N_A/N$, где $N = N_A + N_B$; N_A — число мономер-

ров сорта A . По определению параметр порядка есть плотность $\psi(x, t) \equiv (\psi_A(x, t) - \psi_B(x, t)) / m$.

Рассмотрим несжимаемые смеси, для которых $m=1$. Для диблок-сополимерных цепей (в длинноволновом приближении) эффективный функционал свободной энергии в приближении среднего поля имеет вид [2]

$$\frac{N}{k_B T} \Delta[\psi] = \int_0^l \left((\psi(\tau_0 + e_0(\nabla^2 + q_*^2)^2) \psi + \frac{u_0}{4!} |\psi|^4) \frac{dx}{2} \right),$$

откуда следует

$$\frac{N}{k_B T} \frac{\delta \Delta[\psi]}{\delta \psi} = (\tau_0 + e_0 q_*^4) \psi + \frac{1}{3!} u_0 |\psi|^3 + e_0 (\psi_{xxx} + 2q_*^2 \psi_{xx}), \quad (4)$$

где T — температура; k_B — постоянная Больцмана; $\delta/\delta\psi$ — вариационная производная от функционала энергии.

Предположим, что соответствующий градиентный поток $E = \frac{N}{k_B T} \Delta[\psi]$ удовлетворяет уравнению Ландау—Халатникова [15, 16]:

$$\frac{\partial \psi}{\partial t} = -\gamma \frac{\delta E}{\delta \psi}, \quad (5)$$

где $\gamma > 0$ — постоянная, имеющая размерность частоты. Из вариационного уравнения (5) с учетом (4) вытекает уравнение в частных производных:

$$\psi_t = \gamma \left(e_0 q_*^2 \psi_{xx} - \tau_0 \psi - \frac{u_0}{3!} |\psi|^3 + 2e_0 \psi_{xxx} \right) = B\psi, \quad (6)$$

где B — оператор, определенный на множестве гладких функций. Линеаризованная версия уравнения (6) в точке $\psi = 0$ имеет вид

$$\psi_t = \gamma (e_0 q_*^2 \psi_{xx} - \tau_0 \psi + 2e_0 \psi_{xxx}). \quad (7)$$

Уравнение (7) с линейными стационарными граничными условиями вида (1) рассмотрено в работе [2], где численно определены множества значений параметров задачи, допускающие существование асимптотически стационарных осциллирующих распределений параметра порядка. Такая модель не допускает существования аттрактора задачи, который состоит из функций, зависящих от автомодельных переменных ζ и η . Однако учет эффектов памяти в полимерных цепях приводит к существованию аттрактора краевой задачи, состоящего из функций, допускающих аналитическое представление в виде двух бегущих волн (2).

На рис. 2 показан аттрактор краевой задачи для функции $f(\zeta)$. Из условий Неймана следует, что $f(t) = g(t) + c$, где $c = f(0) - g(0)$ опреде-

ляется из начальных условий краевой задачи в угловой точке $(x, t) := (0, 0)$. Отсюда вытекает, следующее: если аттрактор краевой задачи для функции $f(\zeta)$ имеет вид, изображенный на рис. 2, то соответственно для функции $g(\eta)$ аттрактор получается с помощью сдвига заданной области G с заданным поведением решений на некоторую постоянную c , определяемую из начальных данных краевой задачи. Если для конкретного значения $g \in G$ число c не слишком велико, то не происходит выхода из области G и, следовательно, структура решения не изменяется. Однако, если значение c достаточно велико, то возможны следующие переходы: $T1 \mapsto T2 \mapsto T4$, $T1 \mapsto SNA$, $T1 \mapsto C$, $T2 \mapsto C$, $T4 \mapsto C$, $C \mapsto D$. В дальнейшем ограничимся исследованием случая $c = 0$.

Введем функцию $J(t)$, называемую функцией податливости (или ползучести) полимера [17]. Для расплава длинных цепей эта функция известна [17, рис. 8.1]. Существует интервал $t < \tau_t$, в течение которого цепи остаются зацепленными одна за другую и система ведет себя подобно упругой сетке. При таких значениях t деформация выходит на плато $J(t) \rightarrow J_e^0$.

При очень больших значениях t можно записать $J \propto t/\nu$, где ν — вязкость. Это является нормальным стационарным поведением жидкости, в которой скорость изменения деформации $d\delta/dt$ пропорциональна напряжению Ξ . Поэтому $\nu d\delta/dt = \Xi$ при $t > \tau_t$. Время τ_t , соответствующее переходу от плато к линейному возрастанию функции $J(t)$, называется максимальным временем релаксации. Вязкость определяется скейлинговым соотношением $\tau_t = \nu/\bar{E}$, где \bar{E} можно назвать упругим модулем квазисетки зацеплений, $\bar{E} = 1/J_e^0$ [17, с. 249].

Теперь вместо (6) рассмотрим соответствующее уравнение с запаздывающим аргументом:

$$\psi_t(x, t + \tau_t) = B\psi(x, t). \quad (8)$$

Введем переменные $t \mapsto t/\tau_{diff}$, $x \mapsto x/l$ и разложим левую часть уравнения (8) в ряд в нулевом приближении при условии, что $\tau_t/\tau_{diff} \ll 1$. В результате получим уравнение

$$\psi_t + \varepsilon\psi_{tt} = a\psi_{xx} - \tau_0\psi + 2e_0\psi_{xxx}. \quad (9)$$

Здесь выполнена линеаризация нелинейного оператора B в точке $\psi = 0$:

$$B := \gamma \left(e_0 q_*^2 \psi_{xx} - \tau_0 \psi - \frac{u_0}{3!} |\psi|^3 + e_0 (\psi_{xxx} + 2e_0 \psi_{xxx}) \right).$$

Параметры уравнения (9): $a = \tau_{diff} e_0 q_*^2 / l^2$, $b = -2\tau_{diff} e_0 / l^4$, $\varepsilon = \tau_{relax} / \tau_{diff}$, $\lambda = \tau_{diff} \gamma \tau_0$. Здесь $\tau_{diff} \approx R^2 / D$, где $R = b\sqrt{N}$ — радиус клубка; N — число мономеров; b — коэффициент самодиффузии [2].

Рассмотрим уравнение (9) с граничными условиями (1) и начальными условиями

$$\psi(x, 0) = h_0(x), \psi_l(x, 0) = h_1(x), 0 < x < l, \quad (10)$$

и исследуем асимптотическое поведение решений начально-краевой задачи (1), (10).

Определение объемных колебаний параметра порядка. Будем искать решение уравнения (2), где $V^2 = a/\varepsilon$. После подстановки (2) в (10) получим (в силу линейности (2)) два независимых обыкновенных дифференциальных уравнения:

$$bV^{-4}f''''(\zeta) - f'(\zeta) - \lambda f(\zeta) = 0, \quad (11)$$

$$bV^{-4}g''''(\eta) - g'(\eta) - \lambda g(\eta) = 0. \quad (12)$$

Интегрирование (11) от $\zeta_0 = t$ до $\zeta_l = t + l/v$ приводит к интегро-дифференциальному уравнению с запаздывающим аргументом:

$$bV^{-4}[f''''(t+l/V) - f''''(t)] - [f'(t+l/V) - f'(t)] - \lambda \int_t^{t+l/V} f(s) ds = 0. \quad (13)$$

Интегрирование (12) от $\eta_0 = t$ до $\eta_l = t - l/v$ приводит к аналогичному уравнению:

$$bV^{-4}[g''''(t+l/V) - g''''(t)] - [g'(t) - g'(t-l/V)] - \lambda \int_t^{t-l/V} g(s) ds = 0.$$

Дифференцирование (12) и (13) по переменной t приводит к двум независимым дифференциально-разностным уравнениям с запаздывающим аргументом:

$$bV^{-4}[f''''(t+l/V) - f''''(t)] - [f'(t+l/V) - f'(t)] - \lambda [f(t+l/V) - f(t)] = 0, \quad (14)$$

$$bV^{-4}[g''''(t) - g''''(t-l/V)] - [g'(t) - g'(t-l/V)] - \lambda [g(t) - g(t-l/V)] = 0. \quad (15)$$

Определим функции $Y(t) := f(t+l/V) - f(t)$, $Z(t) := g(t) - g(t-l/V)$ и запишем уравнения (14), (15) в виде

$$bV^{-4}Y''''(t) - Y'(t) - \lambda Y(t) = 0, \quad bV^{-4}Z''''(t) - Z'(t) - \lambda Z(t) = 0.$$

Будем искать решение первого из них в виде $Y(t) = Ce^{kt}$, где C — комплексная постоянная, а параметр k удовлетворяет уравнению $bV^{-4}k^4 -$

$-k - \lambda = 0$. Это уравнение принадлежит множеству канонических уравнений $y^4 + py^2 + qy + r = 0$, где $p = 0$, $q = -V^4 / b$; $-r = -\lambda V^4 / b$. Следовательно,

$$k_{1,2} = \frac{z}{\sqrt{2}} \pm \frac{1}{2} \sqrt{2z - 4 \left(z + \frac{q}{2\sqrt{27}} \right)}, \quad k_{3,4} = \frac{z}{\sqrt{2}} \pm \frac{1}{2} \sqrt{2z - 4 \left(z - \frac{q}{2\sqrt{27}} \right)},$$

где z — корень уравнения

$$z^3 + pz^2 + \frac{p^2 - 4r}{4} z - \frac{q^2}{8} = 0.$$

Пусть $\bar{z} = z - (p/3)$. Тогда $\bar{z}^3 + \bar{p}\bar{z} + \bar{q} = 0$, где $\bar{p} = -r$; $\bar{q} = -(q^2/8)$. Пусть $S = \frac{\bar{q}^2}{4} + \frac{\bar{p}^3}{27}$. Если $S < 0$, то уравнение имеет различные корни:

$$\bar{z}_k = 2\sqrt{-\frac{\bar{p}}{3}} \cos\left(\frac{F}{3} + \frac{2\pi n}{3}\right), \quad n = 0, 1, 2.$$

Выберем

$$\bar{z} = 2\sqrt{-\frac{\bar{p}}{3}} \cos\left(\frac{F}{3}\right), \quad n = 0.$$

Нетрудно видеть, что $\text{tg } F \rightarrow 0$ при $V \rightarrow 0$, т.е. $F = \pi/2$ при $q = 0$. Тогда из данных формул вытекает, что $z \rightarrow 0$, если $V \rightarrow 0$, т.е. $z, \bar{z} \rightarrow 0$ при условии, что фазовая скорость бегущей волны стремится к нулю. При $z = 0$ корни имеют вид

$$k_{1,2} = \pm \frac{1}{2} \sqrt{-\left(\frac{2q}{\sqrt{27}}\right)}, \quad k_{3,4} = \pm \frac{1}{2} \sqrt{\left(\frac{2q}{\sqrt{27}}\right)}.$$

При достаточно малых значениях $z \neq 0$

$$k_{1,2} = \frac{z}{\sqrt{2}} \pm i\beta_{1,2}, \quad k_{3,4} = -\frac{z}{\sqrt{2}} \pm i\beta_{3,4},$$

где

$$\beta_{1,2,3,4} = \pm \frac{1}{2} \sqrt{2z - 4 \left(z \mp \frac{q}{2\sqrt{27}} \right)}.$$

В результате получаем

$$Y(t) = C_{1,2} e^{\frac{z}{\sqrt{2}}t} (\cos\beta_{1,2}t \pm i\sin\beta_{1,2}t) + C_{3,4} e^{-\frac{z}{\sqrt{2}}t} (\cos\beta_{3,4}t \pm i\sin\beta_{3,4}t),$$

где $C_{1,2}, C_{3,4}$ — комплексные постоянные. Таким образом, можно записать

$$Y(t) = (\operatorname{Re}C_{1,2} + \operatorname{Im}C_{1,2}) e^{\frac{z}{\sqrt{2}}t} (\cos\beta_{1,2}t \pm i\sin\beta_{1,2}t) + \\ + (\operatorname{Re}C_{3,4} + \operatorname{Im}C_{3,4}) e^{-\frac{z}{\sqrt{2}}t} (\cos\beta_{3,4}t \pm i\sin\beta_{3,4}t).$$

Выделяя вещественную часть, получаем

$$\operatorname{Re}Y(t) = e^{\frac{z}{\sqrt{2}}t} (\operatorname{Re}C_{1,2} \cos\beta_{1,2}t \pm \operatorname{Im}C_{1,2} \sin\beta_{1,2}t) + \\ + e^{-\frac{z}{\sqrt{2}}t} (\operatorname{Re}C_{3,4} \cos\beta_{3,4}t \pm \operatorname{Im}C_{3,4} \sin\beta_{3,4}t).$$

Здесь $z := z(V)$, где $z(V) \rightarrow 0$, как только $V \rightarrow 0$. Поэтому при достаточно малых фазовых скоростях экспоненты в выражениях для $\operatorname{Re}Y(t)$ имеют порядок единицы. Следовательно, в нулевом приближении достаточно ограничиться возмущениями вида

$$\operatorname{Re}Y(t) = (\operatorname{Re}C_{1,2} \cos\beta_{1,2}t \pm \operatorname{Im}C_{1,2} \sin\beta_{1,2}t) + \\ + (\operatorname{Re}C_{3,4} \cos\beta_{3,4}t \pm \operatorname{Im}C_{3,4} \sin\beta_{3,4}t).$$

Введем обозначения

$$\cos\vartheta_{1,2} = \frac{\operatorname{Re}C_{1,2}^2}{\sqrt{\operatorname{Re}C_{1,2}^2 + \operatorname{Im}C_{1,2}^2}}, \quad \sin\vartheta_{3,4} = \frac{\operatorname{Re}C_{3,4}^2}{\sqrt{\operatorname{Re}C_{3,4}^2 + \operatorname{Im}C_{3,4}^2}}.$$

Тогда запишем

$$\operatorname{Re}Y(t) = \sqrt{\operatorname{Re}C_{1,2}^2 + \operatorname{Im}C_{1,2}^2} \cos(\beta_{1,2}t \pm \vartheta_{1,2}) + \\ + \sqrt{\operatorname{Re}C_{3,4}^2 + \operatorname{Im}C_{3,4}^2} \cos(\beta_{3,4}t \pm \vartheta_{3,4}).$$

Определение поверхностных колебаний параметра порядка. Введем обозначения $Y(t) = f(t+l/V) - f(t)$ и $Z(t) = g(t) - g(t-l/V)$. Тогда

$$Y(t) - Z(t) = f(t+l/V) + g(t-l/V) - (f(t) + g(t)), \quad -l/V < t < \infty. \quad (16)$$

Рассмотрим граничные условия (1) и

$$u_x(0, t) = 0, \quad u_x(l, t) = 0, \quad t > 0. \quad (17)$$

Из (16) вытекает

$$Y'(t) - Z'(t) = f'(t+l/V) + g'(t-l/V) - (f'(t) + g'(t)),$$

откуда в силу граничных условий (1) следует

$$Y'(t) - Z'(t) = F_1(f(t+l/V) + g(t-l/V)) - F_2(f(t) + g(t)). \quad (18)$$

Из (17) и (2) находим соотношение

$$f'_\zeta \frac{d\zeta}{dx} \Big|_{x=0} + g'_\eta \frac{d\eta}{dx} \Big|_{x=0} = 0.$$

Следовательно, $v^{-1} f'_\zeta(\zeta)|_{\zeta=t} - v^{-1} g'_\eta(\eta)|_{\eta=t} = 0$.

Поскольку $d\zeta/dt = 1$ и $d\eta/dt = 1$, можно перейти к переменной по времени. Интегрирование соответствующего уравнения от одной переменной приводит к функциональному соотношению $f(t) = g(t) + c_0$, где $c_0 = f(0) - g(0)$. Аналогично из соотношения $v^{-1} f'_\zeta(\zeta)|_{\zeta=l/V} - v^{-1} g'_\eta(\zeta)|_{\eta=l/V} = 0$ вытекает функциональное равенство $f(t+l/v) = g(t-l/v) + c_1$. Здесь постоянные $c_0 = f(0) - g(0)$, $c_1 = f(l/V) - g(-l/V)$ определяются из начальных условий краевой задачи в угловых точках.

В ситуации общего положения эти постоянные являются бифуркационными параметрами, которые удовлетворяют известному порядку Шарковского [18]: в частности, возможны бифуркации удвоения периода с последующим переходом к хаосу (см., например, [19, 20]). Однако в данном случае достаточно положить $c_0 = c_1 = 0$. Тогда уравнение (18) можно записать в виде разностного уравнения с непрерывным временем:

$$\text{Re}Y'(t) - \text{Re}Z'(t) = F_1(2f(t+l/V)) - F_2(2f(t)). \quad (19)$$

Для рассмотрения возможного асимптотического поведения решений неавтономного разностного уравнения (19) достаточно ограничиться случаем $F_2 := Id: f \mapsto f$, т.е. тождественным отображением. Тогда из (19) получаем разностное уравнение с неавтономными возмущениями:

$$2f(t+l/V) = F_2(2f(t)) + \text{Re}Z'(t) - \text{Re}Y'(t). \quad (20)$$

Введем обозначение $f \mapsto 2f$ и заметим, что $F_2(f): I \mapsto I$ отображает некоторый открытый ограниченный интервал $I \subset \mathbb{R}$ в себя. Если последнее требование выполняется, то решения невозмущенного разностного уравнения неограниченно продолжимы для всех $t > 0$. При этом график решения не выходит из интервала I .

Действительно, решения невозмущенного разностного уравнения можно определить по шагам, задавая на интервале $-l/V < t < 0$ начальную функцию, которая, в свою очередь, определяется по начальным данным краевой задачи методом характеристик [9]. Для квазипериодических функ-

ций $Y'(t)$, $Z'(t)$ и для класса так называемых унимодальных отображений [20] (гомеоморфных квадратичному отображению) асимптотическое поведение решений уравнения (19) известно в случае, когда возмущения являются квазипериодическими синусоидальными функциями [11, 13, 21].

Введем обозначения

$$C_{1,2} = \sqrt{\operatorname{Re}C_{1,2}^2 + \operatorname{Im}C_{1,2}^2}, C_{3,4} = \sqrt{\operatorname{Re}C_{3,4}^2 + \operatorname{Im}C_{3,4}^2}.$$

Тогда $\operatorname{Re}Y(t) = C_{1,2} \cos(\beta_{1,2}t \pm \vartheta_{1,2}) + C_{3,4} \cos(\beta_{3,4}t \pm \vartheta_{3,4})$. Аналогично изложенному выше можно показать, что

$$\operatorname{Re}Z(t) = \bar{C}_{1,2} \cos(\bar{\beta}_{1,2}t \pm \bar{\vartheta}_{1,2}) + \bar{C}_{3,4} \cos(\bar{\beta}_{3,4}t \pm \bar{\vartheta}_{3,4}).$$

Следовательно,

$$\operatorname{Re}Y'(t) = -C_{1,2}\beta_{1,2} \sin(\beta_{1,2}t \pm \vartheta_{1,2}) - C_{3,4} \sin\beta_{3,4} \cos(\beta_{3,4}t \pm \vartheta_{3,4}),$$

$$\operatorname{Re}Y'(t) = -\bar{C}_{1,2}\bar{\beta}_{1,2} \sin(\bar{\beta}_{1,2}t \pm \bar{\vartheta}_{1,2}) - \bar{C}_{3,4} \sin\bar{\beta}_{3,4} \cos(\bar{\beta}_{3,4}t \pm \bar{\vartheta}_{3,4}).$$

Выбрав начальные данные краевой задачи [8], можно положить $\bar{C}_{1,2} = \bar{C}_{3,4} = C_{2,3,4} = 0$. Тогда $\operatorname{Re}Y'(t) = -C_1\beta_1 \sin\beta_1 t$, $\operatorname{Re}Z'(t) \equiv 0$, что приводит к разностному уравнению

$$2f(t+l/V) = F_2(2f(t)) - C_1\beta_1 \cos(-\beta_1 t - \vartheta_1 + \pi/2). \quad (21)$$

Выберем $F_2: f \mapsto -f^2 + a: f \mapsto 2f$, $\varepsilon = -C_1\beta_1$, $\vartheta_1 \mapsto -\vartheta_1 + \pi/2$, $\beta_1 \mapsto -\beta_1$. Тогда уравнение (21) удобно записать в виде

$$f(t+l/V) = -f^2 + a + \varepsilon \cos(\beta_1 t \pm \vartheta_1). \quad (22)$$

Введем обозначение $\vartheta_n = \frac{1}{2\pi}(\beta_1 n - \vartheta_1)$ и ограничимся исследованием дискретного разностного уравнения. Тогда при $t=1, 2, \dots$ уравнение (22) можно записать в виде

$$f(t+l/V) = -f^2 + a + \varepsilon \cos(2\pi\vartheta_n),$$

$$\vartheta_{n+l/V} = \vartheta_n + \frac{1}{2\pi} \frac{\beta_1}{V}. \quad (23)$$

Система (23) записана в дискретные моменты времени $t = n \in \{0, 1, 2, \dots\}$. Параметр $w = \vartheta_{n+l/V} - \vartheta_n = \frac{1}{2\pi} \frac{\beta_1}{V}$ называется числом вращения [13]. Если это

число рационально, то колебания параметра порядка являются асимптотически периодическими функциями. Если число вращения иррационально, то возникают асимптотически квазипериодические распределения.

Асимптотическое поведение решений показано на рис. 2. В частности, существует область D на диаграмме такая, что амплитуды решений при $t \rightarrow \infty$ стремятся к бесконечности. Далее, существует тор $T1$, заданный единственной инвариантной кривой [13, рис. 2.4], который описывает (по переменной ϑ) квазипериодические предельные распределения. При этом существуют бифуркации удвоения периода: например, на торе $T2$ возникают предельные квазипериодические распределения с удвоенным периодом (при наличии двух инвариантных кривых). На торе $T4$ существуют четыре инвариантные кривые и так далее, вплоть до возникновения СНА. На интервале I указанная процедура приводит к бифуркациям удвоения периода с последующим переходом к хаотическим предельным распределениям.

На торе такой сценарий модифицируется возникновением (на промежуточном этапе) СНА, характеризуемого положительной постоянной Ляпунова. Тем не менее, предельный график решения является фрактальным множеством: впервые СНА построен в работе [14]. Термины хаотический и нехаотический определяются значением показателя Ляпунова $\lambda = \langle \ln dG/df \rangle$ отображения G , порождаемого системой (22), в которой усреднение $\langle \circ \rangle$ включает в себя усреднение по переменной ϑ , равномерно распределенной на интервале $0 < \vartheta < l/V$.

Следует заметить, что рассматриваемые решения на интервале I , вообще говоря, асимптотически неустойчивы, поскольку существуют только при выполнении неравенства $0 < (zt/\sqrt{2}) < 1$. Если $V \rightarrow 0$, то $z(V) \rightarrow 0$ и, следовательно, можно говорить о «промежуточном» аттракторе или о том, что при достаточно малой фазовой скорости соответствующие решения имеют собственные «времена жизни». При этом бифуркационная диаграмма на рис. 2 тем точнее отражает реальное поведение решений, чем меньше фазовая скорость бегущих волн.

Таким образом, рассмотрен лишь один объемный параметр задачи $e = \overline{C_1} \beta_1$, что возможно при специальном выборе начальных условий. Такое приближение можно назвать одномодовым. При более общих начальных условиях объемные моды, помимо взаимодействия с поверхностными модами, взаимодействуют также между собой. Такая задача требует дальнейших исследований.

Возможное поведение решений (по-существу, выбор специальных граничных условий), представленное на рис. 2, удобно по той причине, что в силу нелинейных зависимостей $\beta_1 = \beta_1(z, q)$, $q = q(V, b)$, $b = b(\tau_{diff}, e_0 l)$ функция $\varepsilon = \varepsilon(\beta_1, q, b)$ является нелинейной функцией объемных пара-

метров задачи. Аналогично параметр $a = a(h_1, h_2, \gamma, a_1, a_2)$ является функцией поверхностных параметров задачи. Например, в работах [7, 8, 15] рассмотрены граничные условия

$$\frac{\partial u}{\partial t}(0, t) = -\frac{h_1}{\gamma} + a_1(u(0, t)), \quad \frac{\partial u}{\partial t}(l, t) = \frac{h_2}{\gamma} + a_2(u(l, t)),$$

где h_1, h_2 — феноменологические параметры, имеющие размерность длины; γ — объемный корреляционный радиус; $a_1(u)$ и $a_2(u)$ — заданные нелинейные функции. Если эти функции линейны соответственно с коэффициентами a_1 и a_2 , то для диблок-сополимерных цепей [2]

$$a_1 = \frac{a}{c} N^{-1/4} \Gamma_1^{-1},$$

где $\Gamma_1 = \frac{1}{Nc} \sqrt{2 < R_g^2 > / 3}$. Аналогично можно определить Γ_2 . Следовательно,

параметр a на рис. 2 также является нелинейной функцией поверхностных параметров задачи. Пусть, например, $\varepsilon = \varepsilon(\beta_1)$, $a = a(h_1)$ для рассматриваемой краевой задачи. Остальные параметры предполагаются фиксированными. Тогда диаграмме на рис. 2 можно поставить в соответствие диаграмму на плоскости (β_1, h_1) . Очевидно, указанную процедуру можно продолжить. Наконец, тот факт, что в качестве граничного условия выбрано квадратичное отображение, не является ограничением, поскольку квадратичное (или логистическое) отображение гомеоморфно некоторому унимодальному отображению, а для таких отображений существует строгая теория качественного поведения траекторий соответствующих динамических систем [13, 18].

Выводы

Впервые рассмотрена начально-краевая задача, позволяющая моделировать образование автомодельных квазипериодических пространственно-временных структур. Такие структуры описывают распределения концентрации в диблок-сополимерных смесях при их охлаждении. В стационарном случае их называют ламеллярными структурами. В нестационарном случае получаем систему, состоящую из квазипериодических бегущих волн, которые допускают бифуркации удвоения периода (на торе) с последующим переходом к хаосу.

The paper deals with a linear hyperbolic equation for a nonconserved order parameter in the diblock copolymer system with nonlinear differential boundary conditions which models the evolution of an ordered phase in a nonordered phase (in the melt). It is shown that for the ideal polymer systems the asymptotic periodic piecewise constant distributions of the order parameter with a finite or infinite set of points of discontinuities on a period appear in the melt (when bulk perturbations in the melt are small and, hence, surface perturbations are dominating). For the non-ideal systems there are limit quasi-periodic distributions that admits the period doubling bifurcations as the problem parameters are changing. Particularly, these distributions are the elements of the strange unchaotic attractor.

СПИСОК ЛИТЕРАТУРЫ

1. Краснюк И.Б., Таранец Р.М., Стефанович Л.И., Юрченко В.М. Каскадный процесс образования наноструктур при кристаллизации расплава // Материаловедение. — 2009. — № 7. — С. 8—15.
2. Binder K., Frisch H.L., Stepanov S. Surface Effects on Block Copolymer Melts Above the Order-Disorder Transition: Linear Theory of Equilibrium Properties and the Kinetics of Surface-Induced Ordering // J. Phys. II France. — 1997. — № 7. — P. 1353—1378.
3. Maxwell J. C. On Stresses in Rarified Gases Arising from Inequalities of Temperature // Phil. Trans. R. Soc. — 1879. — № 170. — P. 231—256.
4. Леванов Е.И., Сотский Е.Н. Теплоперенос с учетом релаксации теплового потока // Математическое моделирование уравнений математической физики. — 1997. — С. 155—190.
5. Краснюк И.Б. Теория особенностей в задачах теплопереноса: решения релаксационного типа // Инж.-физ. журн. — 1994. — № 1-2. — С. 162—167.
6. Brandenburg A., Käpylä P.J., Mohammed A. Non-Fickian Diffusion and tau approximation From Numerical Turbulence // Physics Fluids. — 2004. — Vol. 16, № 4. — P. 1020—1027.
7. Krasnyuk I.B., Taranets R.M. The Spatiotemporal Oscillations of Order Parameter for Isothermal Model of the Surface-Directed Spinodal Decomposition in Bounded Binary Mixtures // Hindavi Publishing Corporation Research Letters in Physics. Volume 2009, Article ID 250203, 4 pages doi: 10.1155/2009/250203.
8. Krasnyuk I.B., Taranets R.M. The Spatial-Temporal Lamellar Structures in the Confined Ideal Polymer Blends // J. Stat. Phys. — 2011. — № 6. — P. 1485—1498.
9. Шарковский А.Н., Майстренко Ю.Л., Романенко Е.Ю. Разностные уравнения и их приложения. — Киев : Наук. думка, 1986. — 260 с.
10. Краснюк И.Б., Таранец Р.М., Юрченко В.М. Импульсные структуры ламеллярного типа в ограниченных полимерных системах // Математическое моделирование. — 2010. — 22, № 12. — С. 65—81.
11. Кузнецов С.П. О воздействии периодического внешнего возмущения на систему, демонстрирующую переход порядок — хаос через бифуркации удвоения периода // Письма ЖЭТФ. — 1984. — 39, № 3. — С. 113—116.
12. Краснюк И.Б., Мельник Т.Н., Юрченко В.М. Пространственно-временные структуры ламеллярного типа в ограниченных полимерных смесях // Ученые записки Таврического университета им. В.И. Вернадского. Серия «Физика». — 2009. — 22 (61), № 1. — С. 182—193.
13. Feudel U., Kuznetsov S., Pikovsky A. Strange Nonchaotic Attractors: Dynamics Between Order and Chaos in Quasiperiodically Forced Systems. — World Scientific Publishing Co. Pte. Ltd, 2006. — 228 p.
14. Grebodi C., Ott E., Peliken S., Jork J.A. Strange Attractors that are not Chaotic // Physica D. — 1964. — Vol. 13, № 1-2. — P. 261—268.

15. Бойло И.Б., Мельник Т.Н., Краснюк И.Б., Юрченко В.М. Стохастические наноструктуры в физике полимеров // Необратимые процессы в природе и технике. — 2011. — С. 259—262.
16. Fredrickson G.H. Surface Ordering Phenomena in Block Copolymer Melts // *Macromolecules*. — 1987. — № 20. — P. 2535—2542.
17. Де Жен П. Идеи скейлинга в физике полимеров. — М. : Мир, 1982. — 368 с.
18. Шарковский А.Н. Существование циклов непрерывного отображения прямой на себя // Укр. мат. журн. — 1964. — **16**, № 1. — С. 61—71.
19. Шарковский А.Н., Майстренко Ю.Л., Романенко Е.Ю. Разностные уравнения и их приложения. — Киев : Наук. думка, 1986. — 260 с.
20. Шарковский А.Н., Коляда С.Ф., Сивак А.Г., Федоренко В.В. Динамика одномерных отображений. — Киев : Наук. думка, 1986. — 300 с.
21. Иваньков Н.Ю. Свойства скейлинга пространства параметров логистического отображения под внешним периодическим воздействием // Изв. вузов. Прикладная нелинейная динамика. — 1997. — **5**, № 2-3. — С. 118—127.

Поступила 07.05.12

КРАСНЮК Игорь Борисович, канд. физ.-мат. наук, ст. науч. сотр. Донецкого физико-технического ин-та им. А.А. Галкина НАН Украины. В 1975 г. окончил Донецкий госуниверситет. Область научных исследований — самоорганизация в нелинейных динамических системах.